

## دراسة شعاعية لتقدير العلاقة بين الكثافة المعدنية العظمية الموضعية والثخانات العظمية حول الزرعات السنية (دراسة مقارنة مع الليزر اللين)

الدكتور عمار مثلح \*

الدكتور منير حرفوش \*\*

رامي عز الدين \*\*\*

(تاریخ الإیادع 24 / 4 / 2013. قبیل للنشر في 30 / 9 / 2013 )

### □ ملخص □

تطورت تطبيقات الليزر اللين (bio-stimulating laser) في تحسين الكثافة المعدنية العظمية الموضعية والتي تعدّ العامل الأهم في نجاح الزرعات السنية.

تهدف هذه الدراسة إلى تقدير قدرة مشعر نسيبة العظم الاسفنجي إلى العظم القشرى (TCR) Trabecular to Cortical bone Ratio - كمشعر بسيط سهل القياس- في التعبير عن كثافة العظم الموضعية لتسهيل التنبؤ بنجاح الزرعات السنية. شملت الدراسة 40 مريضاً أجري لهم زرعات مفردة في منطقة الأرحاء السفلية، ومقسمين إلى مجموعتين: 20 مريضاً أجري لهم الزرع مع تطبيق الليزر اللين وهو ليزر الغاليوم - ألمانيوم - أرسنيد (GaAlAs) (طول الموجة nm830) و 20 مريضاً أجري لهم الزرع دون تطبيق الليزر اللين. استُخدمت الصور الذرورية العادية Analog مع درج معايرة من الألمنيوم القفي، واستُخدم برنامج الديجورا الطبي لقياس الكثافة العظمية الشعاعية في الصورة الذرورية، وتم إجراء تصوير بانورامي مقطعي لدراسة الا TCR وتم حساب المشعرين الشعاعيين ("نسبة الثخانة X نسبة الكثافة" ، "ثخانة الألمنيوم المكافئة")؛ خلال الفترات: قبل الزرع وبعد 3 و 6 و 9 أشهر من الزرع.

ووجدت الدراسة علاقة ارتباط خطية قوية بين الا TCr، وكل من "نسبة الكثافة X نسبة الثخانة" ( $P < 0.001$  ،  $R^2 = 0.842$  ،  $r = 0.836$ ) و "ثخانة الألمنيوم المكافئة" ( $P < 0.001$  ،  $R^2 = 0.6567$  ،  $r = 0.835$ ). وبالتالي فإن مشعر الا TCr يعبر عن كلا المشعرين الذين يعبران عن الكثافة العظمية الموضعية، مما يعني أن الا TCr مرتبط بهذه الكثافة، وبالتالي تستفيد منه كطريقة سهلة للتنبؤ بنوعية العظم وتوقع نجاح الزرعات السنية.

الكلمات المفتاحية: الليزر اللين، الكثافة المعدنية العظمية الموضعية، نسبة العظم الاسفنجي إلى العظم القشرى TCr، ثخانة الألمنيوم المكافئة.

\* أستاذ - قسم طب الفم - كلية طب الأسنان - جامعة دمشق - سوريا.

\*\* أستاذ - قسم جراحة الوجه والفكين - كلية طب الأسنان - جامعة دمشق - سوريا.

\*\*\* طالب دراسات عليا (دكتوراه) - قسم طب الفم - كلية طب الأسنان - جامعة دمشق - سوريا.

## A Radiographic Study for Evaluating the Correlation between Local Bone Mineral Density and Bone Thicknesses around Dental Implants: a Comparative Study with Soft Laser

Dr. Ammar Maschlal<sup>\*</sup>  
Dr. Moneir Harfoush<sup>\*\*</sup>  
Rami Ezzeddin<sup>\*\*\*</sup>

(Received 24 / 4 / 2013. Accepted 30 / 9 / 2013)

### □ ABSTRACT □

Soft laser applications continue to improve local bone mineral density which is considered the most important factor in dental implant success.

This study aims to evaluate the Trabecular to Cortical bone ratio (TCr) index -as a simple easy measurement index- that expresses the bone mineral density. This is to be able to predict the success of dental implants.

The study included 40 patients, who had a single implant in the lower molar region. The patients are divided into two groups: 20 patients had an implant with a soft laser application, i.e. GaAlAs laser (wavelength 830 nm), and 20 patients had an implant without a soft laser application.

Ordinary Analog periapical radiographs were used with calibration Stepwedge of pure aluminum, a medical Dijora program was used to measure radiographically local bone density in the periapical radiographs, and a panoramic Tomography was made to study TCr and two bone density indices (thickness ratio x density ratio) and (equivalent Aluminium thickness). All were measured during the period before implantation and 3, 6, and 9 months after the implantation.

The study found a strong linear correlation between the TCr and (thickness ratio x density ratio)  $0.001 < P$ ,  $R^2 = 0.84236$  ( $r = 0.8$ . and equivalent Aluminium thickness)  $0.001 < P$ ,  $R^2 = 0.656735$ , ( $r = 0.8$ ).

The study shows that TCr index expresses both radiographic indices which reflect the local bone density, which means that the TCr is associated with such density. Therefore, it can be used as an easy way to predict the quality of bone, and prognosticate the success of dental implants.

**Keywords:** soft Laser, local bone mineral density, Trabecular bone to cortical bone ratio TCr, thickness of aluminum equivalent

\* Professor, Oral Medicine Department, Dental Collage, Damascus University, Syria.

\*\* Professor, Oral and Maxillofacial Surgery Department, Dental Collage, Damascus University, Syria.

\*\*\* Postgraduate Student, Oral Medicine Department, Dental Collage, Damascus University, Syria.

## مقدمة:

تزداد أهمية زراعة الأسنان يوماً بعد يوم لتحقيق أهدافها في التعويض عن الأسنان المفقودة أو استخدامها في زيادة ثبات الأجهزة التعويضية، وتزداد معها الحاجة إلى التقليل من الوقت اللازم لإنتهاء العمل. ومع التطور الكبير حول تطبيقات الليزر في مجال طب الأسنان، ظهرت إمكانية استخدام الليزر اللين ذي الطاقة المنخفضة أو ما يطلق عليه اسم ليزر التحرير الحيوي (bio-stimulating laser) في تحسين الكثافة المعدنية العظمية الموضعية Local Bone Mineral Density.

وحيث لا يوجد طرق واضحة وسهلة لقياس الكثافة المعدنية العظمية الموضعية لعظم الفك Local Bone Mineral Density (Local BMD)، والتي تعدّ المشعر الأهم للتتبؤ بنجاح الزرعات السنية، أصبح من الضروري البحث عن مشعر بسيط كمشعر الثخانات العظمية ونسبة العظم الاسفنجي إلى العظم القشرى Trabecular bone to Cortical bone ratio (TCr)، لدراسة علاقته مع Local BMD، وهل يعطي دلالة عن هذه الكثافة المعدنية العظمية، وأماكن توزعها لاستطاع منه التنبؤ بنجاح الزرعات السنية.

يتكون عظم الإنسان من نوعين مميزين من العظم، وذلك اعتماداً على المسامية:

نسيج قشرى Cortical Bone

ونساج إسفنجي Trabecular Bone

يوجدان في كل المناطق العظمية، ولكن كمياتهما وتوزعهما يختلفان [1].

إن مشعر نسبة العظم الاسفنجي إلى العظم القشرى TCr، هو مشعر بسيط زاد الاهتمام به في الآونة الأخيرة بسبب كونه سهل القياس، ولا يتطلب تجهيزات كثيرة ومكلفة وقد اعتمد كل من Lekholm و Zarb في تصنيفهما لنوعية العظم [2]. كما افترضت الدراسات الحديثة إمكانية تعرف الطبيب على الكثافة المعدنية العظمية BMD عن طريق هذا المشعر [3]. كما استخدمت الصورة الذرورية مع إضافة درج معايرة Calibration Stepwedge في دراسة الكثافة العظمية الشعاعية، والتي تدل على الكثافة العظمية المعدنية في الموقع الهدف [4-6].

## أهمية البحث وأهدافه:

تهدف هذه الدراسة لتقييم العلاقة بين نسبة العظم الاسفنجي إلى القشرى TCr مع الكثافة المعدنية العظمية الموضعية في الفك السفلي وبالتالي إيجاد العلاقة بين كمية العظم السنخي ونوعيته، مستخددين الليزر اللين كعامل محرض على تحسين الكثافة المعدنية العظمية الموضعية.

## طائق البحث ومواده :

جرى العمل في عيادة زراعة الأسنان في كلية طب الأسنان بجامعة دمشق، بعد أن تم توقيع موافقة مستنيرة (informed consent) من قبل 40 مريضاً اختبروا من المرضى السوريين المراجعين لكلية طب الأسنان في جامعة دمشق، وذلك خلال الفترة الممتدة من ٢٠١١/٦/٢٠١٠ وحتى ٢٠١٢/٦/٧، من كلا الجنسين (24 ذكر و 16 أنثى)، وقد تم تقسيم العينة إلى مجموعتين:

**المجموعة الأولى:** عينة زرع مع تطبيق الليزر اللين: 20 زرعة (20 مريض) بحيث يتم الزرع وتطبيق الليزر اللين في نفس الفترة الزمنية وذلك بعدأخذ الصور الذروية والصور البانورامية المقطعة للمنطقة الهدف، ويتم تركيب التاج الخزفي المعدني في الفترة الزمنية الثانية (3 أشهر بعد الزرع)، وتم مراقبة الحالات خلال الفترات 6 و 9 أشهر بعد الزرع وذلك بأخذ صور ذروية بالإضافة للصور البانورامية المقطعة.

**المجموعة الثانية (المجموعة الشاهدة):** عينة زرع من دون الليزر اللين حيث كان تطبيق الليزر اللين ظاهرياً دون أشعة Placebo: 20 زرعة (20 مريض) بحيث يتم الزرع والانتظار للفترة الزمنية الثانية (3 أشهر بعد الزرع) لتركيب التاج الخزفي المعدني، ثم المراقبة في الفترات 6 و 9 أشهر بعد الزرع؛ ويتم أخذ الصور الذروية، بالإضافة للصور البانورامية المقطعة في كافة الفترات الزمنية المذكورة.

ومن هنا كانت هذه الدراسة عشوائية أحادية التعميم One Blinded Randomized controlled Study

ومن شروط اختيار مرضى العينة:

• العمر بين 30 سنة و 35 سنة.

• وجود درد جزئي في المنطقة الخلفية من الفك السفلي في أحد الجانبين منذ 1 سنة على الأقل مع وجود ارتفاع وعرض كافيين للعظم السنخي [7].

• سلامه المريض من الأمراض الجهازية، أو التخثرات العظمية، أو الأعران العظمية، أو التشوهات الهيكلية، أو التطورية مع سلامه الإطباق.

• أن لا يكون المريض مصاباً بأي اضطراب استقلابي قد يؤثر على الكثافة العظمية المعدنية لديه.

• ان لا يكون المريض قد خضع لعمل جراحي سابق، أو لكسور شملت الفك السفلي، أو لأي معالجة شعاعية.

• لا يتناول أية أدوية قد يكون لها آثار على العظم.

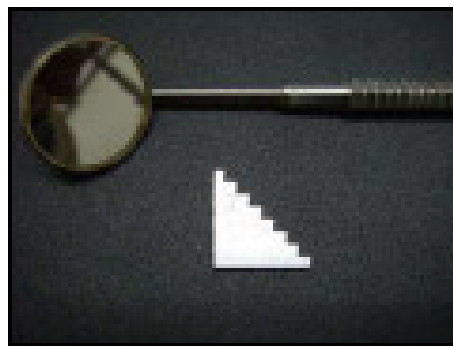
• أن لا تكون المريضة حاملاً أثناء إجراء التصوير الشعاعي.

تم إجراء صور ذروية مع درج معايرة - مصنوع من مادة الألمنيوم النقي، ومكون من ثمان درجات [5, 8, 9] بطريقة التوازي لمنطقة الفقد بعد تثبيت عضة مطاطية للمريض لتثبيت محور الصور في الفترات الزمنية المختلفة ثم إجراء الزرعات السنوية من نوع SPI Contact® ذات القطر 4.5 مم والطول 11 مم، وتطبيق الليزر اللين من جهاز الليزر اللين Bio-Beam الموجود في عيادة الليزر في كلية طب الأسنان بجامعة دمشق بعد أن تم اتباع كافة وسائل الأمان بما يتعلق بالمحيط والمريض والمعالج، وهو من شركة CMS Dental الدنماركية، وهو من ليزرات أنصاف النواقل (Semi-conductor Laser)، أما وسطه الليزري فهو الغاليوم - ألمانيوم - أرسنيد (GaAlAs) طول الموجة nm830، وقدرة 150 mW، وطاقة 92.1 J ، 20 نقطة (9 نقاط من الجهة الدهلizophية، 9 نقاط من الجهة اللسانية، واحدة على ظهر السنخ من الجهة الأنسيّة وواحدة وحشية) [10]، وذلك حسب تعليمات الشركة المصنعة. كما تم وضع جهاز مؤقت إكريلي في الفترة الزمنية بين الزرع وتركيب التاج النهائي للحفاظ على البعد بين السنين المجاورين لمكان الزرع.

وتم إجراء صور شعاعية بانورامية مقطعة لمنطقة الفقد لدراسة نسبة العظم الاسفنجي إلى العظم القشرى . TCr



شكل (2) : صورة ذرورية مع مدرج المعايرة



شكل (1) : مدرج المعايرة

وأجرت بعدها المراقبة والتعويض فوق الزرعات السنية حسب الترتيب الزمني الموضح بالجدول (1)

الجدول (1) يوضح فترات المراقبة المختلفة وفقاً لنوع المعالجة

الفترة الزمنية	مجموعه تطبيق الليزر اللين	المجموعه الشاهدة (دون تطبيق الليزر اللين)
قبل الزرع مباشرةً	صورة بانوراما مقطعة + صور ذرورية <sup>1</sup>	صورة بانوراما مقطعة + صور ذرورية <sup>1</sup>
الزرع	تطبيقات الليزر اللين	-
3 أشهر بعد الزرع	صورة بانوراما مقطعة + صور ذرورية <sup>2</sup> + وضع الناج المعدني الخزفي	صورة بانوراما مقطعة + صور ذرورية <sup>2</sup> + وضع الناج المعدني الخزفي
6 أشهر بعد الزرع	صور ذرورية <sup>3</sup>	صور ذرورية <sup>3</sup>
9 أشهر بعد الزرع	صورة بانوراما مقطعة + صور ذرورية <sup>4</sup>	صورة بانوراما مقطعة + صور ذرورية <sup>4</sup>

وقد تم تحويل الصور الشعاعية الذرورية العادية Analog إلى صور رقمية (طريقة غير مباشرة) وإدخالها إلى الحاسوب عن طريق تصويرها بكاميرا رقمية عالية الدقة (10.3 ميغا بيكسل) من نوع Sony ، ثم تمت معالجتها عن طريق برنامج Adobe Photoshop Element 5.0 لتحويلها إلى صور من تدرجات اللون الرمادي فقط Grayscale حتى تقرأ بواسطة برنامج الديجورا الطبي Digora الذي يعطي قيمة رقمية للكثافة الشعاعية للصورة Radiographic Bone Density والتي ترتبط بالكتافة المعدنية العظمية الموضعية Local BMD والتي تعبر بدورها عن نوعية العظم [4-12]. كما تم حساب كثافة درجات مدرج المعايرة للاستفادة منها في حساب المشعرين الشعاعيين :

أ- نسبة الثخانة × نسبة الكثافة :

وهو مشعر شعاعي يعبر عن الكثافة الحقيقية للعظم السنخي آخذًا بعين الاعتبار اختلاف ثخانة العظم السنخي الدهليزي اللساني ، وبالتالي يمكن أن يعكس قيمة الكثافة المعدنية العظمية الموضعية Local BMD [13-15].

**بـ- كثافة الألمنيوم المكافئة :**

إن ثخانة الألمنيوم المكافئة هي الثخانة المعبرة عن الكثافة الشعاعية للعظم وبالتالي تعكس كثافة العظم السنخي في منطقة الاهتمام كما هو موضح في المعادلة التالية المعتمدة من قبل ريتشارد [16].

$$\frac{\text{كثافة الدرجة الأولى} - \text{كثافة العظم السنخي}}{\text{كثافة الدرجة الأولى} - \text{كثافة الدرجة الثانية}} = \frac{\text{ثخانة الدرجة الأولى} - \text{ثخانة الألمنيوم المكافئة (X)}}{\text{ثخانة الدرجة الأولى} - \text{ثخانة الدرجة الثانية}}$$

حيث تعبّر كثافة الدرجة الأولى عن الكثافة الشعاعية لدرجة الألمنيوم الأقل كثافة من منطقة الاهتمام في مكان الفقد.

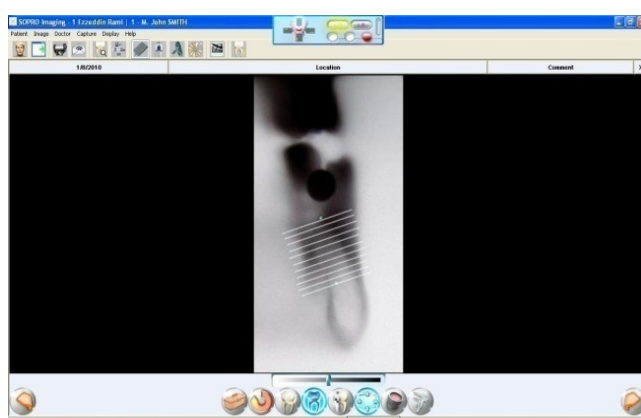
-تعبر كثافة الدرجة الثانية عن الكثافة الشعاعية لدرجة الألمنيوم الأكثر كثافة من منطقة الاهتمام في مكان الفقد

-تعبر ثخانة الدرجة الأولى عن ثخانة درجة الألمنيوم الأقل كثافة من منطقة الاهتمام في مكان الفقد.

-تعبر ثخانة الدرجة الثانية عن ثخانة درجة الألمنيوم الأكثر كثافة من منطقة الاهتمام في مكان الفقد.

كما تم إدخال الصور المقطعية إلى الحاسوب عن طريق ماسح ضوئي Scanner، ثم تمت معالجة هذه الصور ببرنامج Sopro Imaging لقياس ثخانات العظم القشرى والأسفنجى على كامل طول الزرعة وتم الحساب بقياس الأبعاد العظمية كل 1 مم من طول الزرعة حيث تم تقسيم كلٌ من المقاطعين الثاني والثالث (ضمن مجموعة الصور المقطعية الأربع الناتجة) إلى 11 قسماً على طول الزرعة، وتم حساب الثخانات العظمية (ثخانة العظم القشرى الدهليزى، ثخانة العظم الأسفنجى، ثخانة العظم القشرى اللسانى) في كل مستوى، ثم أخذ المتوسط الحسابى لهذه الثخانات في المستويات الـ 11 للدلالة على الثخانات العظمية في كل مقطع، ثم تم حساب المتوسط الحسابى للمقاطعين السابقين للحصول على المتغير المطلوب، باعتبار أن ثخانة العظم القشرى = ثخانة العظم القشرى الدهليزى + ثخانة العظم القشرى اللسانى.(بعد حساب نسبة التكبير التي تم حسابها بالمقارنة مع كرة معدنية معلومة القطر تم تصويرها دائمًا مع المنطقة الهدف).

كما في الشكل (3):



شكل رقم (3) : يبين قياس الأبعاد العظمية مكان الزرعة

ثم حساب المتوسط الحسابي لهذه القياسات وبعدها كان تطبيق القانون:

نسبة العظم الاسفنجي إلى القشيри  $T_{Cr} = \frac{\text{العظم الاسفنجي}}{\text{العظم القشيри}} \times 100$  (الدهليزي + اللساني)

تمأخذ قياسات كل متغير من المتغيرات المختلفة لكل حالة ثلاثة مرات واعتماد متوسط هذه القياسات كقيمة لهذه الحالة وتم حساب قيمة معامل الارتباط بيرسون  $r$  بين المتغير التابع (نسبة العظم الاسفنجي إلى القشيري  $T_{Cr}$ ) مع كل من المتغيرين المستقلين (نسبة الكثافة  $X$  وكتافة الألمنيوم المكافئة) وفقاً لمتغير تطبيق الليزر اللذين وفي عينة البحث كاملة وفقاً لمتغير فترات القياس المختلفة، وعدت قيمة معامل الارتباط بيرسون  $r$  ذات دلالة عند  $P < 0.05$ .

### النتائج والمناقشة:

#### • النتائج:

تألفت عينة الدراسة من 40 مريضاً ومريضة تراوحت أعمارهم بين 30 و35 عاماً، بمتوسط عمر  $32.3 \pm 2$  سنة (60% ذكوراً بمتوسط عمر  $32.5 \pm 2.3$  و 40% إناثاً بمتوسط عمر  $31.5 \pm 2.1$ ) وكانوا مقسّمين إلى مجموعتين اثنتين متساويتين وفقاً لطريقة المعالجة بالليزر وقد كان توزع مرضى عينة البحث والمتوسط الحسابي لأعمارهم (بالسنوات) وفقاً للمجموعة المدروسة والجنس كما في الجدول (2).

الجدول 2: المتوسط الحسابي لأعمار مرضى عينة البحث (بالسنوات) و توزعهم وفقاً للمجموعة المدروسة و الجنس المريض

الانحراف المعياري	المتوسط الحسابي	الحد الأعلى	الحد الأدنى	النسبة المئوية	عدد المرضى	جنس المريض	المجموعة المدروسة
1.0	32.7	34	31	65.0	13	ذكر	مجموعة المعالجة بالليزر
0.8	31.6	33	31	35.0	7	أنثى	
1.1	32.3	34	31	100	20	المجموع	
1.6	32.3	34	30	55.0	11	ذكر	المجموعة الشاهدة
1.5	32.1	34	30	45.0	9	أنثى	
1.5	32.2	34	30	100	20	المجموع	

وكان توزع قيم نسبة العظم الاسفنجي إلى القشيри  $T_{Cr}$  وفقاً للمجموعة المدروسة وفترة الدراسة كما في الجدول (3).

الجدول 3: قيم الـ TCr حسب المجموعة المدروسة والفتراء الزمنية المدروسة في عينة البحث

مجموعة الدراسة	TCr قبل المعالجة	TCr بعد 3 أشهر	TCr بعد 9 أشهر
المجموعة المعالجة بالليزر اللين	1.25	1.274	0.994
	1.13	1.174	1.025
	2.27	2.338	1.698
	1.34	1.42	1.249
	2.14	2.303	2.017
	1.17	1.217	1.418
	2.53	2.579	1.562
	2.64	2.778	2.512
	1.33	1.359	1.562
	2.52	2.599	2.274
	1.22	1.241	1.674
	2.27	2.331	2.208
	1.66	1.686	1.613
	2.61	2.59	2.636
	1.36	1.393	1.701
	2.58	2.676	2.365
	1.17	1.203	1.54
المجموعة الشاهدة	2.66	2.758	2.587
	1.20	1.229	1.544
	1.01	1.037	1.437
	1.20	1.178	1.273
	1.24	1.215	1.292
	2.29	2.261	1.831
	1.73	1.699	1.308
	1.78	1.734	1.484
	1.23	1.204	1.319
	2.30	2.39	2.332
	2.14	2.045	1.973
	1.71	1.666	1.628
	1.86	1.749	1.624
	1.85	1.795	1.704

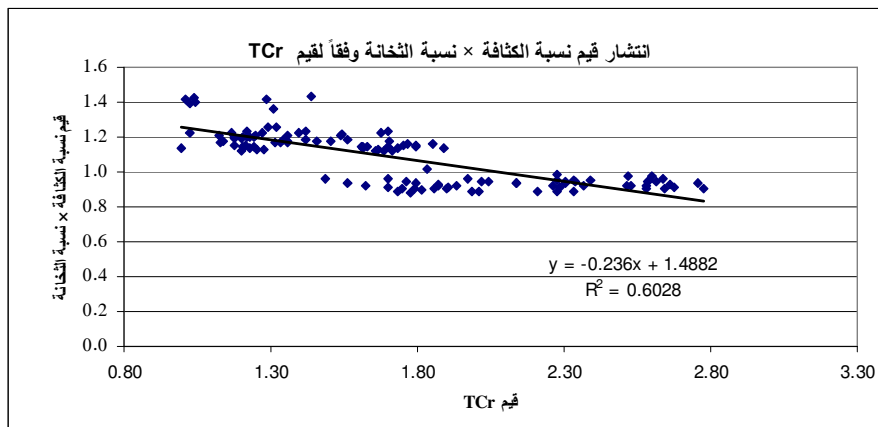
1.7	1.816	1.98	
1.766	1.61	1.61	
1.796	1.873	1.91	
1.506	1.313	1.36	
1.763	1.872	1.93	
1.754	1.797	1.89	
1.789	1.899	2.01	
1.455	1.13	1.14	
1.286	1.043	1.02	

لدراسة العلاقة بين نسبة العظم الاسفنجي إلى القشرى  $TCr$  ، و "نسبة الكثافة X نسبة الثخانة" في عينة البحث وفقاً للمجموعة المدروسة، وال فترة الزمنية المدروسة، تم حساب معامل الارتباط بيرسون  $r$  ، وحصلنا على النتائج الموضحة بالجدول (4) والمخطط (1).

جدول 4 يبين قيم معاملات الارتباط لدراسة طبيعة العلاقة بين نسبة العظم الاسفنجي إلى العظم القشرى  $TCr$  و "نسبة الكثافة X نسبة الثخانة" وفقاً للمجموعة المدروسة وال فترة الزمنية المدروسة في عينة البحث

شدة العلاقة	جهة العلاقة	وجود علاقة ارتباط	المتغير الأول = $TCr =$				المجموعة المدروسة	الفترة الزمنية	المتغير الثاني	
			قيمة مستوى الدلالة	عدد الحالات	$R^2$	معامل الارتباط				
شبة تامة	عكسية	توجد علاقة ارتباط	0.000	20	0.876	-0.936	مجموعة المعالجة باللليزر	قبل الزرع	نسبة الكثافة X نسبة الثخانة	
قوية جداً	عكسية	توجد علاقة ارتباط	0.000	20	0.608	-0.780	المجموعة الشاهدة			
قوية جداً	عكسية	توجد علاقة ارتباط	0.000	40	0.713	-0.844	عينة البحث كاملة			
شبة تامة	عكسية	توجد علاقة ارتباط	0.000	20	0.877	-0.936	مجموعة المعالجة باللليزر	بعد 3 أشهر		
قوية	عكسية	توجد علاقة ارتباط	0.000	20	0.557	-0.746	المجموعة الشاهدة			
قوية جداً	عكسية	توجد علاقة ارتباط	0.000	40	0.662	-0.814	عينة البحث كاملة			
قوية	عكسية	توجد علاقة ارتباط	0.000	20	0.523	-0.723	مجموعة المعالجة باللليزر	بعد 9 أشهر		
قوية	عكسية	توجد علاقة ارتباط	0.001	20	0.495	-0.703	المجموعة الشاهدة			
قوية	عكسية	توجد علاقة ارتباط	0.000	40	0.456	-0.676	عينة البحث كاملة			
قوية جداً	عكسية	توجد علاقة ارتباط	0.000	60	0.755	-0.869	مجموعة المعالجة باللليزر	في جميع الفترات		
قوية	عكسية	توجد علاقة ارتباط	0.000	60	0.537	-0.733	المجموعة الشاهدة			
قوية جداً	عكسية	توجد علاقة ارتباط	0.000	120	0.603	-0.776	عينة البحث كاملة			

نلاحظ أن قيمة  $P < 0.05$  مهما كانت المجموعة المدروسة ومهما كانت الفترة الزمنية المدروسة، أي أنه عند مستوى الثقة 95% توجد علاقة ارتباط خطية بين الـ TCr و"نسبة الكثافة  $\times$  نسبة الثخانة" في عينة البحث وبما أن الإشارة الجبرية لمعاملات الارتباط المحسوبة المذكورة سالبة نستنتج أن كلاً من العلاقات الموافقة كانت عكسية، وبما أن القيم المطلقة لكل من معاملات الارتباط الموافقة لمجموعة المعالجة بالليزر قبل الزرع وبعد 3 أشهر وفي جميع الفترات الزمنية كانت قرينة من القيمة 0.9 نستنتج أن كلاً من العلاقات الموافقة كانت شبه تامة من حيث الشدة، وبما أن القيم المطلقة لباقي معاملات الارتباط كانت قرينة من القيمة 0.7 أو أكثر نستنتج أن كلاً من العلاقات الموافقة كانت قوية في عينة البحث.



مخطط (1) يمثل انتشار قيم "نسبة الكثافة  $\times$  نسبة الثخانة" وفقاً لقيم TCr

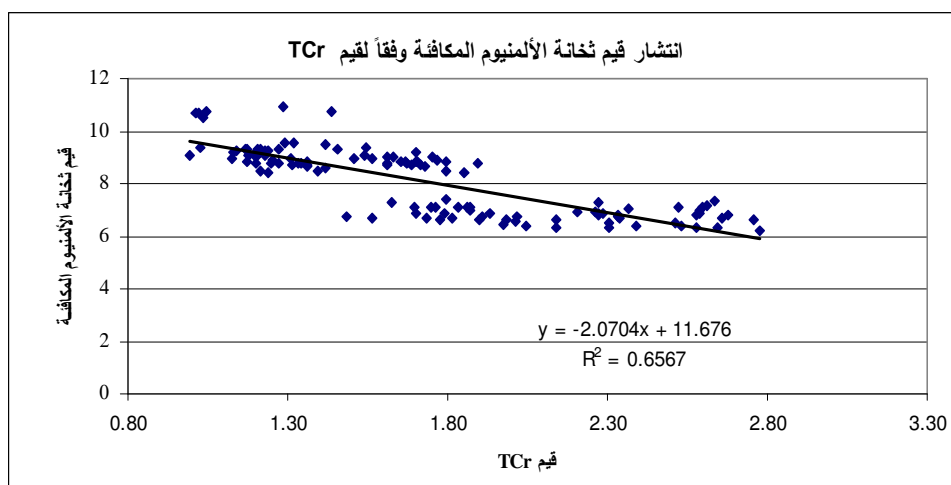
و لدراسة العلاقة بين نسبة العظم الاسفنجي إلى القشرى TCr و"ثخانة الألمنيوم المكافأة" في عينة البحث وفقاً للمجموعة المدروسة والفتره الزمنية المدروسة تم حساب معامل الارتباط بيرسون ٢ وحصلنا على النتائج الموضحة بالجدول ٥ والمخطط ٢.

جدول ٥ يبين قيم معاملات الارتباط لدراسة طبيعة العلاقة بين نسبة العظم الاسفنجي إلى القشرى TCr وثخانة الألمنيوم المكافأة في عينة البحث وفقاً للمجموعة المدروسة والفتره الزمنية المدروسة في عينة البحث

شدة العلاقة	جهة العلاقة	وجود علاقة ارتباط	المتغير الأول TCr				المجموعة المدروسة	الفترة الزمنية	المتغير الثاني
			قيمة مستوى الدلالة	عدد الحالات	R <sup>2</sup>	قيمة معامل الارتباط			
شبه تامة	عكسية	توجد علاقة ارتباط	0.000	20	0.869	-0.932	مجموعة المعالجة بالليزر	قبل الزرع	ثخانة الألمنيوم المكافأة
قوية جداً	عكسية	توجد علاقة ارتباط	0.000	20	0.751	-0.867	المجموعة الشاهدة		
قوية جداً	عكسية	توجد علاقة ارتباط	0.000	40	0.761	-0.872	عينة البحث كاملة		
شبه تامة	عكسية	توجد علاقة ارتباط	0.000	20	0.886	-0.941	مجموعة المعالجة بالليزر	بعد 3 أشهر	
قوية جداً	عكسية	توجد علاقة ارتباط	0.000	20	0.700	-0.836	المجموعة الشاهدة		
قوية جداً	عكسية	توجد علاقة ارتباط	0.000	40	0.741	-0.861	عينة البحث كاملة		
قوية	عكسية	توجد علاقة ارتباط	0.000	20	0.544	-0.738	مجموعة المعالجة بالليزر	بعد 9 أشهر	
قوية	عكسية	توجد علاقة ارتباط	0.000	20	0.499	-0.707	المجموعة الشاهدة		

قوية	عكسية	توجد علاقة ارتباط	0.000	40	0.469	-0.685	عينة البحث كاملة	
قوية جداً	عكسية	توجد علاقة ارتباط	0.000	60	0.764	-0.874	مجموعة المعالجة بالليزر	
قوية جداً	عكسية	توجد علاقة ارتباط	0.000	60	0.650	-0.806	المجموعة الشاهدة	
قوية جداً	عكسية	توجد علاقة ارتباط	0.000	120	0.657	-0.810	عينة البحث كاملة	في جميع الفترات

نلاحظ أن  $P < 0.05$  مهما كانت المجموعة المدروسة ومهما كانت الفترة الزمنية المدروسة، أي أنه عند مستوى الثقة 95% توجد علاقة ارتباط خطية بين الكثافة العظمية و"ثخانة الألمنيوم المكافحة" في عينة البحث، وبما أن الإشارة الجبرية لمعاملات الارتباط المحسوبة المذكورة سالبة نستنتج أن كلاً من العلاقات الموافقة كانت عكسية، وبما أن القيم المطلقة لكل من معاملات الارتباط الموافقة قبل الزرع مهما كانت المجموعة المدروسة وبعد 3 أشهر في مجموعة المعالجة بالليزر كانت قريبة من القيمة 0.9 نستنتج أن كلاً من العلاقات الموافقة كانت شبه تامة من حيث الشدة، وبما أن القيم المطلقة لباقي معاملات الارتباط كانت قريبة من القيمة 0.7 أو 0.8 نستنتج أن كلاً من العلاقات الموافقة كانت قوية جداً في عينة البحث.



مخطط (2) يمثل انتشار قيم "ثخانة الألمنيوم المكافحة" وفقاً لقيم TCr

بعد دراسة العلاقة بين نسبة العظم الاسفنجي إلى العظم القشرى TCr و"نسبة الكثافة X نسبة السماكة" في عينة البحث، وفقاً للمجموعة المدروسة، والفترات الزمنية المدروسة، نلاحظ أن  $P < 0.05$  مهما كانت المجموعة المدروسة ومهما كانت الفترة الزمنية المدروسة، أي أنه توجد علاقة ارتباط خطية بين الـ TCr و"نسبة الكثافة X نسبة السماكة" في عينة البحث وبما أن القيم المطلقة لكل من معاملات الارتباط الموافقة لمجموعة المعالجة بالليزر قبل الزرع وبعد 3 أشهر، وفي جميع الفترات الزمنية، كانت قريبة من القيمة 0.9 نستنتج أن كلاً من العلاقات الموافقة كانت شبه تامة من حيث الشدة في عينة البحث.

وبالمقارنة بين القيم المطلقة لمعاملات الارتباط بين كل من الـ TCr و"نسبة الكثافة X نسبة السماكة" وبين الـ TCr و"ثخانة الألمنيوم المكافحة"، نستنتج أن علاقة الـ TCr كانت أقوى مع مشعر ثخانة الألمنيوم المكافحة.

#### • المناقشة:

يعتمد نجاح أي عملية زرع سني على عوامل متعددة بدءاً من التشخيص السليم، ووضع خطة المعالجة الصحيحة، وصولاً إلى خصائص العظم كماً ونوعاً [8]، حيث ترتكز الاهتمام على استخدام الليزر مثل ليزر غاز هليوم-نيون (632.8nm) في السابق، أما في هذه الأيام فإن معظم الأعمال السريرية بالليزر منخفض الطاقة تستخدم فيها ليزرات أنصاف النواقل مثل ليزر غاليلوم - أرسنيد الذي يعمل على nm 830 أو nm 635 كأطوال موجة [11]. بسبب تأثيراته العلاجية الكبيرة، ودوره في تحسين نوعية العظم والتي تلعب دوراً هاماً في الوصول إلى نجاح الزرعة السنية طول الأمد [17-18]. ومع ازدياد عدد الأبحاث التي وجهت لتطوير خطة العلاج، فقد أصبح التنبؤ بالنجاح حقيقة واقعة، وأصبحت المراجع والأبحاث المتعلقة بالزرع السنوي تنظر بمصطلح التنبؤ Predict أي توقع النجاح أو بعبارة أخرى تقدير الإنذار Evaluation of prognosis، ومن هنا بدأ البحث عن الطرق التي تساعدننا في التنبؤ بمستقبل هذه الزرعة، وكان من أفضل الوسائل المستخدمة قبل أي عمل جراحي هي الصور الشعاعية، خاصة المقاطع المحورية في التصوير الطيفي المحوري [19-21].

وبعد أن كان التصوير الطيفي المحوسبي هو الطريقة المرجعية Gold Standard المستخدمة لكشف الكثافة العظمية [22-23]؛ وُجد أنه يعرض المريض لجرعاتٍ كبيرة من الأشعة السينية، كما يقتصر توفره على المراكز الطبية الكبرى، عدا عن التكلفة العالية؛ لذلك تم استخدام الصور الذروية مع درج معايرة لتوحيد طريقة قياس كثافة العظم بشكلٍ معياري، حيث إن الصورة الذروية من دون هذا الدرج لا تستطيع أن تعطي فكرة عن ثخانة العظم السنخي [4]، وقد اعتمد على مبدأ زيادة الكثافة الشعاعية في الصورة الذروية بازدياد الكثافة الحقيقية للثانية المصورة والعكس صحيح، أي أن الصورة الذروية تعكس كثافة النسيج المصور [6, 24-25]، ومع تطور الوسائل والتكنيات الرقمية أصبح بالإمكان تمثيل هذه الكثافة بالأرقام باستخدام برامج مثل برنامج Digora<sup>TM</sup> الذي يعتمد على محتوى وحدة الصورة أو الـ Pixel من المعلومات [26-27].

كما أن هناك العديد من الطرائق الشعاعية لقياس كمية العظم بدقة [28]، وكذلك توجد تقنيات من أجل تمثيل كمية العظم بصورة أرقام [29]، وباعتبار أن قياس كمية العظم أسهل ويطلب أجهزة أقل كلفة وأقل تعرضاً للجرعات الشعاعية كالتصوير البانورامي المقطعي [29-30-31]، فكان البحث عن العلاقة بين كمية العظم ونوعيته، والاستفادة من معرفة القياسات الكمية للعظم في التنبؤ بنوعيته.

تشير الأبحاث أنه يمكن استخدام قياسات العرض القشرى للفك السفلى على الصور البانورامية مع استخدام مشرفات الخطورة السريرية من أجل تشخيص الترقق العظمي الهيكلى [32]، وقد أكد Stoppie وزملاؤه عام 2006 وجود علاقة بين سمك العظم الأسفنجي وقيم وحدات هاونسفيلد HU في التصوير الطيفي المحوسبي  $r = 0.95$  والمستخدمة في التنبؤ بالخصائص الميكانيكية للعظم السنخي، بينما كانت العلاقة ضعيفة بين نموذج العظم الأسفنجي والقشرى مع  $HU = 0.57$   $r = 0.33$ .

لقد أشار Naitoh وزملاؤه [34] إلى أن مشعر "نسبة العظم الأسفنجي إلى العظم القشرى" TCr يمكن أن يستخدم لتقدير الكثافة العظمية. وفي دراسة أخرى كان قد بين Naitoh وزملاؤه عام 2004 [3] أن مشعر "نسبة العظم الأسفنجي إلى العظم القشرى" مرتبط بشكل كبير بقيم وحدات هاونسفيلد HU في التصوير المقطعي المحوسبي .CT-scan

وفي دراستنا كانت العلاقة قوية ويمكن القول إنها شبه تامة، ولكنها عكسية بين نسبة العظم الاسفنجي إلى العظم القشري TCr والمشعرين الشعاعيين في مجموعة المعالجة بالليزر وفي المجموعة الشاهدة أي أن ازدياد قيمة الد TCr تكافئ نقصاً في قيمة هذين المشعرين.

وحيث إن مشعر "ثخانة الألمنيوم المكافحة" يعبر عن الثخانة المعبرة عن الكثافة الشعاعية للعظم، وبالتالي تعكس كثافة العظم السنخي في منطقة الاهتمام، كما تبين في دراستنا أن علاقة مشعر "ثخانة الألمنيوم المكافحة" مع الد TCr أقوى من علاقة الد TCr مع المشعر الشعاعي "نسبة الكثافة X نسبة السماكة" وبالتالي فإن مشعر "ثخانة الألمنيوم المكافحة" أدق في التعبير عن الد TCr من مشعر "نسبة الثخانة X نسبة الكثافة". وقد أثبتت Naitoh عام 2004 في دراسة الارتباط بين الكثافة الشعاعية للفكين العلوي والسفلي باستخدام التصوير الطبقي المحوري ونموذج العظم الاسفنجي أن التصوير الطبقي المحوري باستخدام مدرج المعايرة واستخدام مشعر "ثخانة الألمنيوم المكافحة" يعني عن الدراسة النسيجية لنقصي نوعية العظم [34].

إن اعتمادنا غير المباشر - أي باستخدام مشعر آخر هو ثخانة العظم الاسفنجي إلى العظم القشري TCr - على مشعر "ثخانة الألمنيوم المكافحة" و "نسبة الثخانة X نسبة الكثافة" (والذين أثبتت الدراسات قدرتهما على التعبير عن الكثافة المعدنية العظمية الموضعية)، وبواسطة الطرائق الشعاعية التقليدية البسيطة المتاحة وغير المكلفة ومن ثم حصولنا على نتائج واعدة، يعكس أهمية هذا المشعر و قدرته التنبؤية بالكتافة العظمية والخطوة الفادمة التي ننصح بها هي دراسة شاملة لوضع قيم مرجعية لهذا المشعر وفقاً للأعمار المختلفة ول مختلف مناطق العظم السنخي.

## الاستنتاجات والتوصيات:

### الاستنتاجات:

- يعطي مشعر ثخانة العظم الاسفنجي إلى العظم القشري TCr دلالة عن الكثافة المعدنية العظمية الموضعية في الفك السفلي، وبالتالي يمكن الاستفادة منه في التنبؤ بهذه الكثافة في سياق الزرع السنبي.

### التوصيات:

1. إجراء دراسة مشابهة لتقييم علاقة مشعر ثخانة العظم الاسفنجي إلى العظم القشري TCr مع الموجودات النسيجية للعظم السنخي.
- 2- نقترح استخدام مشعر ثخانة العظم الاسفنجي إلى العظم القشري TCr في سياق المعالجة التعويضية بالزرعات السنبية.

المراجع:

1. ARUN,K.G. *Bone biology, Harvesting, and grafting for dental implants: rationale and clinical applications.* Quintessence Publishing Co, Inc. 2, 2004.
2. LEKHOLM,U.ZG. *Patient selection and preparation in Branemark P-1, Zarb GA, Albrektsson T, eds: Tissue integrated prostheses: osseointegration in clinical dentistry.* Quintessence, Chicago, III, 1985, 199-209.
3. NAITOH,M.KA; MITSUYA,S; KAMEMOTO,H; ARIJI,E. *Measurement of mandibles with microfocus x-ray computerized tomography and compact computerized tomography for dental use.* Int J Oral Maxillofac Implants, Vol 19, N 2, 2004, 239-46.
4. JONASSON,GK.BG; KILIARIDIS,S. *Estimation of skeletal bone mineral density by means of the trabecular pattern of the alveolar bone, its interdental thickness, and the bone mass of the mandible.* Oral Surg Oral Med Oral Pathol Oral Radiol Endod,Vol 92, 2001, 346-52.
5. NACKAERTS,O.DH; JACOBS,R; HORNER,K; ZHAO,F; LINDH,C; KARAYIANNI,K; VAN DER STELT,P; PAVITT,S. *Bone density measurements in intra-oral radiographs.* Clin Oral Investig, Vol 11, 2007, 225-29.
6. DEVLIN,H.HK. *Diagnosis of osteoporosis in oral health care.* Journal of Oral Rehabilitation, Vol 35, N 2, 2008, 152-57.
7. TALLGREN,A. *The continuing reduction of the residual alveolar ridges in complete denture wearers, A mixed longitudinal study covering 25 years.* J Prosthet Dent, Vol 27, 1972, 120-32.
8. DEVLIN,H.HK. *Measurement of mandibular bone mineral content using the dental panoramic tomogram.* J Dent, Vol 19, N 2, 1991, 116-20.
9. TROUERBACH, WT; ZWAMBORN, AW; SCHOUTEN, HJ. *A study of the radiographic aluminum equivalent values of the mandible.* Oral Surg Oral Med Oral Pathol, Vol 58, N 5, 1984, 610-6.
10. GARCIA-MORALES,JM; TORTAMANO-NETO,P; FERNANDO TODESCAN,F; MAROTTI,J; ZWZELL,DM. *Stability of dental implants after irradiation with an 830-nm low-level laser: a double-blind randomized clinical study.* Lasers Med Sci, 2011, doi 10.1007/s10103-011-0948-4.
11. SHROUT,MK; WEAVER,J.PB; HILDEBOLT,CF. *Spatial resolution and angular alignment tolerance in radiometric analysis of alveolar bone change.* J. Periodontol, Vol 67, 1996, 41-45.
12. HILDEBOLT,C.F; HENTE,N.L; GRAVIER,M.J; WALKUP,R.K; SHROUT,M.K; VANNIER,M.W. *Bitewing-based alveolar bone densitometry: digital imaging resolution requirements.* Dentomaxillofacial Radiology, Vol 23, N 3, 1994, 129-34.
13. AIHAFFAR,I; NEFUSSI,R; KOLTA,S; FOUCART,JM; LAUGIER,P. *Experimental evaluation of bone quality measuring speed of sound in cadaver mandibles.* Oral Surg Oral Med Oral Pathol Oral Radiol Endod, Vol 102, N 6, 2006 Dec, Epub 2006 Jul 27, 782-91.
14. EISAWAF,A.MM; El-BADRY,T; ZAKI,M. *Assessment of mandibular alveolar bone density in osteoporotic sample of adult Egyptians.* The Egyptian Medical Journal, Vol 4, 2005, 40-45.
15. AIHAFFAR,I; LAUGIER,P; NEFUSSI,R; KOLTA,S; FOUCART,JM. *Experimental evaluation of bone quality using speed of sound measurement in cadaver mandibles.* Acoustical Society of America Journal, Vol 116, N 4, 2004, 2477-78.
16. RICHARD,E. *Evaluation of Radiographic bone density.* INT J ORAL MAXILLOFAC IMPLANTS, Vol 11, 1953, 41-45.
17. TURKYLIMAZ,I.ME. *Influence of bone density on implant stability parameters and implant success: a retrospective clinical study.* J BMC Oral health, Vol 8, 2008, 32.

18. VERDONCK,HWD. MG; LAURIN,T. *Implant stability during osseointegration in irradiated and nonirradiated minipig alveolar bone: an experimental study.* Clin Oral Impl Res, Vol 19, 2008, 201-06.
19. WATZEK, G. *Implants in qualitatively compromised bone.* Quintessence, 2004, 1-5.
20. SHAPUIAN,T.DP; REISER,GM; GRIFFIN,TJ; RAND,WM. *Quantitive evaluation of bone density using the Hounsfield index.* Int Oral Maxillofac Implant, Vol 21, N 2, 2006, 290-97.
21. TERAKADO, M.HK; ARAI,Y; HONDA,M; SEKIWA,T; SATO,H. *Diagnostic imaging with newly developed orthocubic super-high resolution computed tomography (ortho-CT).* Oral Med Oral Pathol Oral Radiol Endod, Vol 89, 2000, 509-18.
22. MONSOUR,PA.DR. *Implant radiography and radiology.* Australian Dental Journal, Vol 53, N 1, 2008, 11-25.
23. BERGKVIST, G; SAHLHOLM, S; KLINTSTROM, E; LINDH, C. *Bone density at implant sites and its relationship to assessment of bone quality and treatment outcome.* Int J Oral Maxillofac Implants, Vol 25, N 2, 2010, 321-8.
24. GRETHE, J; LISA, J; STAVROS, K. *Changes in the radiographic characteristics of the mandibular alveolar process in dentate women with varying bone mineral density: A 5-year prospective study.* Bone, Vol 38, N 5, 2006, 714-721.
25. KULLENDORFF,B.PK; ROHLIN,M. *Direct digital radiography for the detection of periapical bone lesions: a clinical study.* Endod Dent Traumatol, Vol 13, 1997, 183-89.
26. TURKYLIMAZ,I.TT; TUMER,C. *Bone Density Assessments of Oral Implant Site Using Computerized Tomography.* J Oral Rehabil, Vol 34, 2007, 267-72.
27. BARONE,A.CU; CORNELINI,R; GHERNONE,E. *Radiographic bone density around immediately loaded oral implants: A case series.* Clin Oral Impl Res, Vol 14, N 5, 2007, 610-15.
28. QUIRYNEN,M.LY; DEKETSER,C; PEENE,P; BONTE,J; BEART,A. *The CT scan standard reconstruction technique for reliable Jaw bone, volume determination.* Int J Oral Maxillofac Implants, Vol 5, 1990, 384-89.
29. JACOBS,R.VSD. *Radiographic Planning and assessment of endosseous oral implants.* 1st edn. Berlin: Springer – Verlag, 1998.
30. FREDERIKSEN,N. *Diagnostic imaging in dental implantology.* Oral Surg Oral Med Oral Pathol Oral Radiol Endod, Vol 80, N 5, 1995, 540-54.
31. LINDH,C.PA; KLINGE,B. *Visualization of the mandibular canal by different radiographic techniques.* Clinical Oral Implants Research, Vol 3, 1992, 90-97.
32. KARAYANNI,K.DH; HORNER,K; MITSEA,A; BERKAS,L; MASTORIS,M; JACOBS, R; LINDH,C; HARRISON,E; ADAMS,JE; PAVITT,S. *Accuracy in osteoporosis diagnosis of a combination of mandibular cortical width measurement on dental panoramic radiographs and a clinical risk index (OSIRIS): the OSTEODENT project.* Bone, Vol 40, 2007, 223-29.
33. STOPPIE,N.PV; WEVERS,M; VANDER SLOTEN,J; IGNACE,N. *Structural and radiological parameters for the characterization of jawbone.* Clin Oral Implants Res, Vol 17, N 2, 2006, 124-33.
34. NAITOH,M.FT; OKUMURA,S; ARIJI,E. *ASSESSMENT OF MANDIBULAR CANCELLOUS BONE USING LINEAR CROSS-SECTIONAL TOMOGRAMS: COMPARISON WITH COMPUTED TOMOGRAPHY.* Aichi-Gakuin Dent Sci, Vol 17, 2004, 33-37.